

Chromodynamique Quantique perturbative : calcul des jets

Redamy PEREZ RAMOS

Laboratoire de Physique Théorique et Hautes Énergies

Université Paris 6, Jussieu

Vendredi 21 Septembre 2007

Distributions et corrélations hadroniques en Chromodynamique Quantique dans l'approximation des “petits x ”

- *R. Perez Ramos & B. Machet* : “MLLA inclusive hadronic distributions inside one jet at high energy colliders”, hep-ph/0512236, JHEP 04 (2006) 043, p.1-35 ;
- *R. Perez Ramos* : “Two-particle correlations inside one jet at “Modified Leading Logarithmic Approximation” of Quantum Chromodynamics ; I Exact solution of the evolution equations at small x ”, hep-ph/0605083, JHEP 06 (2006) 019, p.1-50 ;
- *R. Perez Ramos* : “Single inclusive distribution and two-particle correlations inside one jet at “Modified Leading Logarithmic Approximation” of Quantum Chromodynamics ; II Steepest descent evaluation at small x , JHEP 09 (2006) 014, p.1-21 ;
- *F.Arléo, R. Perez Ramos & B. Machet* : Next-to-MLLA corrections to inclusive k_\perp distribution and 2-particle correlations at small x inside high energy jets, arXiv :0707.3391 [hep-ph].

- La Chromodynamique Quantique perturbative :
 - * théorie de jauge non-abélienne $SU(3)_c$;
 - * les problèmes ;
 - * diagrammes de Feynman ; resommations ; interprétation probabiliste ;
 - * divergences infrarouges et colinéaires ;
 - * différentes resommations ;
 - * les effets de cohérence.
- Les techniques utilisées.
- Les résultats. Comparaison avec les travaux précédents.

- Section efficace différentielle inclusive à une particule en MLLA et NMLLA en fonction de l'impulsion transverse k_\perp ; comparaison avec les données préliminaires de CDF ;
- Corrélations à deux particules à l'intérieur d'un jet
- Conclusions

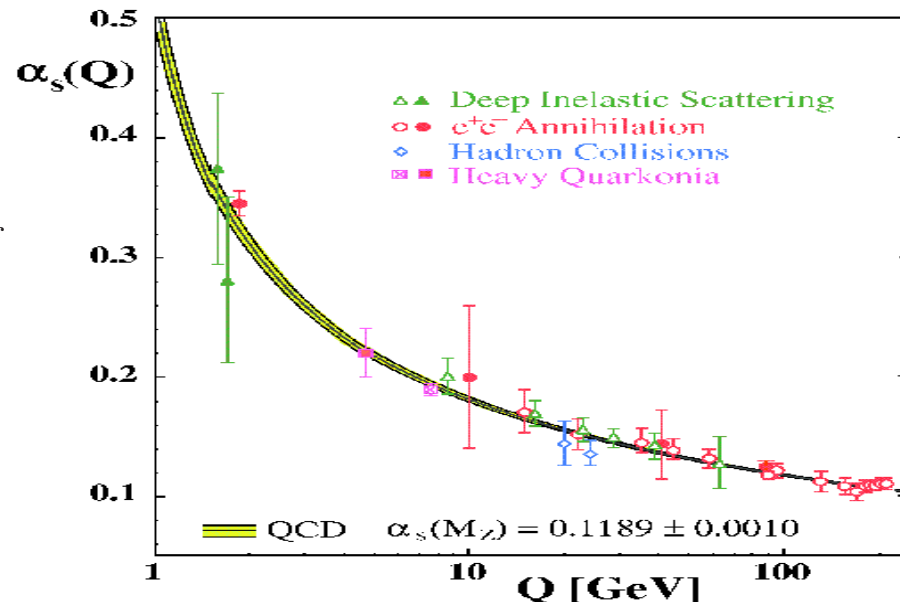
La Chromodynamique Quantique perturbative

QCD : Théorie de jauge non-abelienne des quarks et des gluons, groupe $SU(3)_c$

$$\alpha_s(Q^2) = \frac{4\pi}{\beta \ln \frac{Q^2}{\Lambda_{QCD}^2}}, \quad \beta = \frac{1}{4N_c} \left(\frac{11}{3}N_c - \frac{2}{3}n_f \right); \quad N_c = 3$$

domaine non-perturbatif

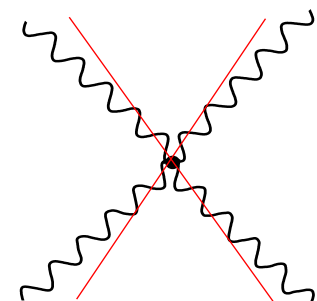
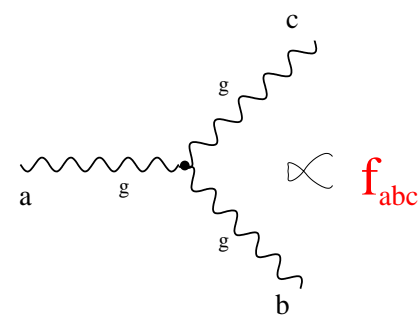
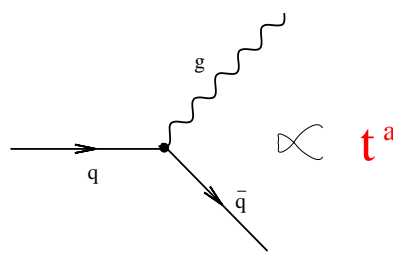
$$\alpha_s \geq 1$$



domaine perturbatif (*liberté asymptotique*)

$$Q \gg \Lambda_{QCD} \Rightarrow \alpha_s \ll 1$$

Vertex $q\bar{q}g$, ggg & $gggg$



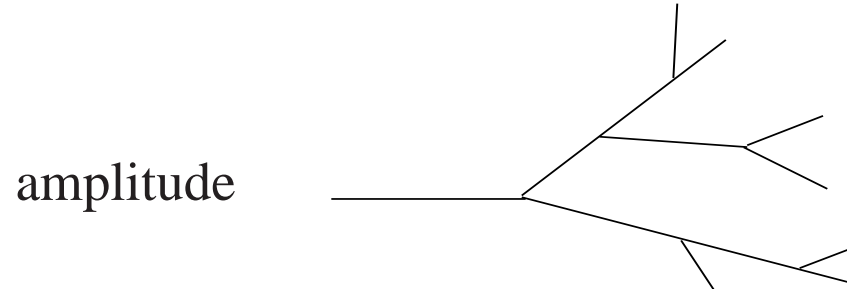
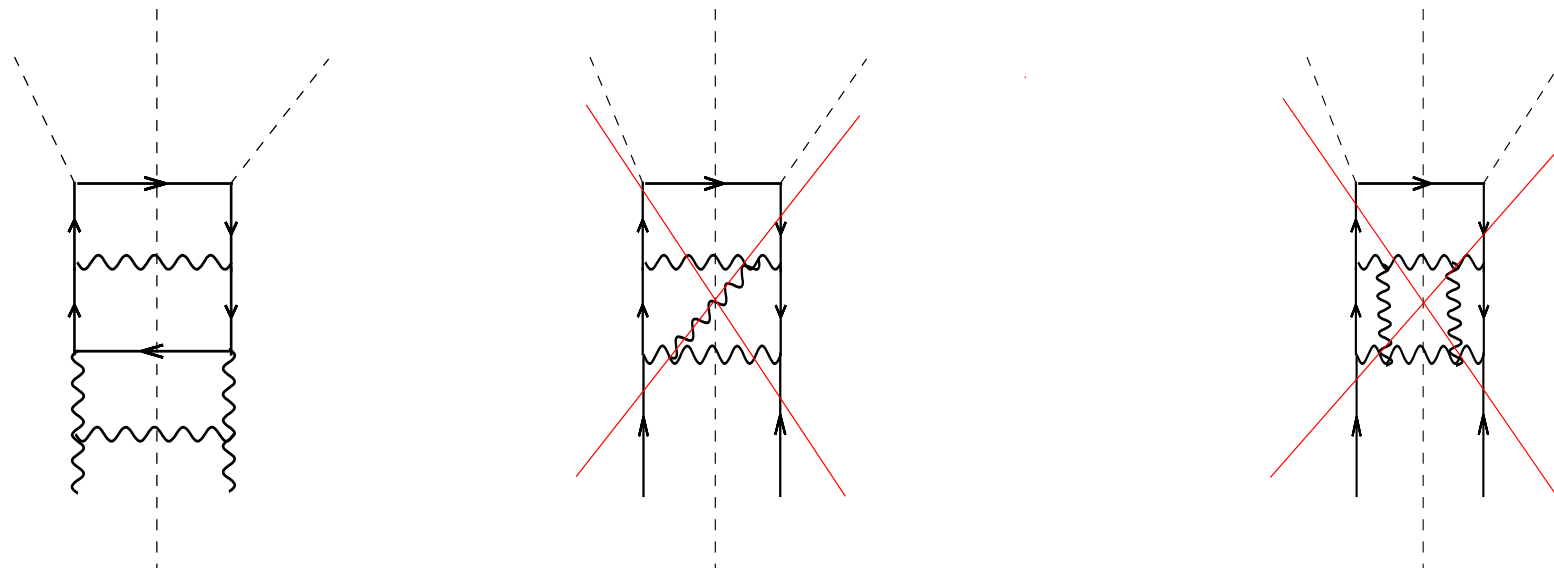
Problèmes

- $\alpha_s(Q^2 \rightarrow \Lambda_{QCD}^2) \rightarrow \infty$;
- divergences **infrarouges** et **colinéaires** beaucoup plus sévères qu'en QED ;
- hadronisation (confinement).

Différentes approches

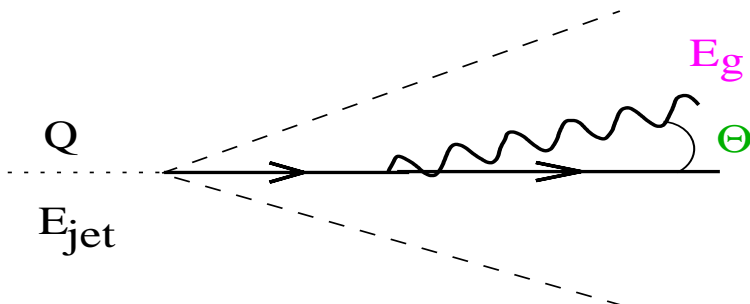
- Processus exclusifs : sommation de tous les diagrammes de Feynman à une puissance donnée de α_s ;
- processus inclusifs, jets : **resommation** de tous les logarithmes dominants, sous-dominants (...) provenant de l'émission d'un nombre quelconque de **gluons mous** et / ou **colinéaires**.

Jauge planaire \Rightarrow seuls les **diagrammes en échelle** subsistent dans $| \text{amplitude} |^2$: processus de branchement et **interprétation probabiliste** : les vertex deviennent des **fonctions de “splitting”**



“processus de branchement **probabiliste**”

Divergences infrarouges et colinéaires



- divergences colinéaires : $\Theta \rightarrow 0 \Rightarrow$ divergence en $\log \Theta$
⇒ resommer tous les gluons émis à l'intérieur d'un cône $\Theta > \Theta_{min}$;
- divergences infrarouges : quand l'énergie du gluon \ll l'énergie du parent $\Rightarrow \log(E_{jet}/E_g)$;
- en général : infrarouge + colinéaire.

Différentes resommations

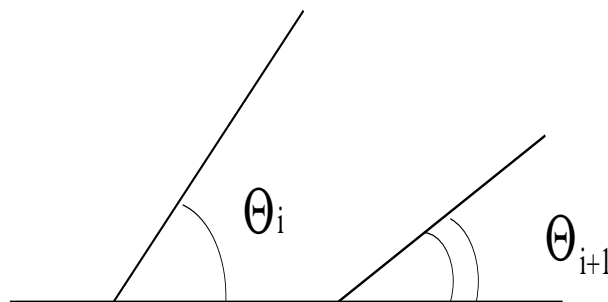
- LLA : $\left(\alpha_s \log \frac{Q^2}{\mu^2}\right)^n$, resummation des logs “quasi-colinéaires” (Deep Inelastic Scattering) ;
- DLA : $\left(\alpha_s \log \frac{E_{jet}}{E_g} \log \Theta\right)^n$; $\alpha_s \log^2 \sim 1$ ($\log \sim \alpha_s^{-1/2}$) \Rightarrow principal ingrédient à l'estimation des grandeurs dans les jets ; néglige le recul du parton émetteur (**non-conservation de l'énergie**) ;
- Single Logs (SL) :
 - * $(\alpha_s \log \Theta)^n$: gluons colinéaires mous ;
 - * ou $\left(\alpha_s \log \frac{E_{jet}}{E_g}\right)^n$: gluons mous colinéaires ;
 - * d'autres origines possibles, comme le “running” de α_s . . .
- MLLA : $\left(\underbrace{\alpha_s \log \log}_{DLA(1)} + \underbrace{\alpha_s \log}_{SL(\sqrt{\alpha_s})}\right)^n$; les corrections SL à DLA restaurent la **conservation de l'énergie** et tiennent compte du “running” de α_s (**évolution du jet**) ;
- NMLLA : $\left(\underbrace{\alpha_s \log \log}_{DLA(1)} + \underbrace{\alpha_s \log}_{SL(\sqrt{\alpha_s})} + \underbrace{\alpha_s \log \log^{-1}}_{NSL(\alpha_s)}\right)^n$; les corrections NSL permettent de mieux prendre en compte la conservation de l'énergie et d'étendre le domaine de validité des petits x .

Les effets de cohérence en QED et QCD

- en QED : on démontre que les γ 's émis interfèrent destructivement **sauf** si ils appartiennent à un **cône de bremsstrahlung** $\Theta_\gamma < \Theta_{diffusion}$;
- en QCD : la cohérence devient liée à une condition de **Angular Ordering** pour les gluons émis successivement :

* en DLA $\Theta_{i+1} \ll \Theta_i$ (AO “rigoureux”);

* en MLLA $\Theta_{i+1} \leq \Theta_i$ (AO “exact”).



Les techniques utilisées

- Solution **exacte** d'équations intégro-différentielles **approchées** : équations d'évolution MLLA ($x \ll 1$)
 - * pour les distributions inclusives d'une particule ;
 - * pour les corrélations (solution itérative).

Elles se déduisent par différentiation d'une **fonctionnelle génératrice** Z :

- * spectre inclusif d'une particule = $\frac{\delta}{\delta u} Z(u)$;
- * corrélations à deux particules = $\frac{\delta^2}{\delta u_1 \delta u_2} Z(u)$;
- * etc. . . (comme pour les fonctions de corrélation en théorie quantique des champs) ;

- Solutions des **équation d'évolution partoniques** de **Dokshitzer-Gribov-Lipatov-Altarelli-Parisi (DGLAP)** (équations d'évolution dans la région où $x \sim 1$) (dans certaines intégrales) ;
- Calcul numérique (Fortran).

Les résultats

- Distributions doublement différentielles inclusives à 1 particule $\frac{d^2\sigma}{d \ln(1/x) d \ln k_\perp}$ pour des jets de quark ou de gluon à petit x : **premier calcul MLLA**.
- Distribution inclusive : **premier calcul MLLA** analytique à petit x en fonction de l'*impulsion transverse* pour des jets de quark et de gluon ;
- premier calcul Next-to-MLLA analytique permettant d'étendre le domaine en k_\perp et en x ;
CDF (Tevatron) : très bon accord ; LHC : à venir.

Les travaux précédents concernaient :

- * les distributions inclusives et les multiplicités en DLA (*Dokshitzer, Fadin, Khoze, 1982*) ;
- * en MLLA les multiplicités et le spectre inclusif en fonction de l'*énergie* (*Malaza, Webber, 1986 ; Dokshitzer, Khoze, Troyan, Mueller, 1988...)*

- Corrélations à 2 particules :

* première expression MLLA analytique exacte à petit x ne se limitant pas au pic de la distribution inclusive pour les énergies des 2 particules ;

Les travaux précédents concernent :

* les solutions des équations en DLA (*Dokshitzer, Fadin, Khoze, 1982*) ;

* en MLLA (*Fong & Webber, 1990*), les résultats se limitent au pic de la distribution inclusive dans l'approximation du “spectre limite” (cut-off colinéaire = Λ_{QCD})

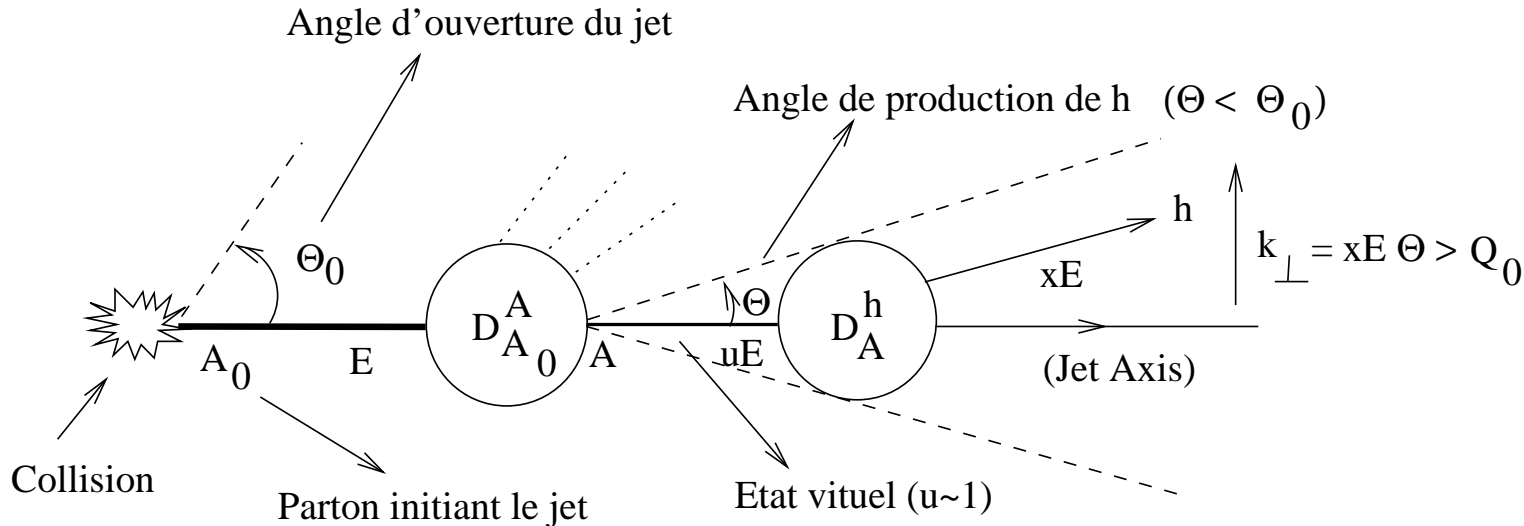
* extension (MLLA) au delà du “spectre limite” dans l'approximation semi-classique (méthode du col) ; énorme gain de temps numérique (facteur 50000 !) ;

Meilleur accord avec l'expérience (OPAL, CDF en cours d'analyse) que Fong & Webber, mais il reste encore des désaccords : les analyses futures permettront de tester l'hypothèse de la “dualité locale parton-hadron (LPHD)” (très bien confirmée pour les grandeurs inclusives) ; le rôle des corrections “Next-to-MLLA” sera évoqué.

- Les intervalles de fiabilité de tous ces calculs en rapport avec les approximations qu'ils comportent (x petit, α_s petit) ont été donnés et expliqués.

Section efficace différentielle inclusive $\frac{d\sigma}{d \ln k_\perp}$ à une particule, en fonction de son impulsion transverse (k_\perp)

Section efficace différentielle inclusive à une particule en fonction de k_{\perp}



$$\underbrace{\left(\frac{d\sigma}{d \ln k_{\perp}} \right)_{g \text{ or } q}}_{\text{Mesurable !}} = \int dx \left(\frac{d^2\sigma}{dx d \ln k_{\perp}} \right)_{g \text{ or } q}$$

où

$$\left(\frac{d^2\sigma}{dx d \ln k_{\perp}} \right)_{A_0} = \frac{d}{d \ln k_{\perp}} \left[\sum_A \int_x^1 du D_{A_0}^A(u, E\Theta_0, uE\Theta) D_A^h \left(\frac{x}{u}, uE\Theta, Q_0 \right) \right]$$

\Rightarrow valable $\forall x$ et dominée par $u \sim 1 !!$

Approximation des petits $x \Rightarrow$ résultats analytiques

$$D_{A_0}^A(u = \mathcal{O}(1) \dots) : \text{DGLAP}; \quad D_A^h(\frac{x}{u} \ll 1 \dots) : \text{(N)MLLA}$$

- Paramètre perturbatif de l'expansion, et variables :

$$\gamma_0^2 = \alpha_s(k_\perp^2) \frac{1}{2\pi} = -\frac{1}{\beta \ln \frac{Q}{\Lambda_{QCD}}} = \frac{1}{\beta Y_{\Theta_0}}, \quad Y_{\Theta_0} = \ln \frac{Q}{\Lambda_{QCD}}, \quad \beta = \frac{1}{4N_c} \left(\frac{11N_c}{3} - \frac{2}{3} n_f \right);$$

$$\ell = \ln(1/x), \quad y = \ln(k_\perp/\Lambda), \quad k_\perp \approx xE\Theta, \quad \Lambda_{QCD} \approx 0.253 \text{ GeV}$$

\Rightarrow section efficace doublement différentielle :

$$\left(\frac{d^2\sigma}{d\ell dy} \right)_{A_0} \underset{x \ll 1}{\approx} \frac{d}{dy} \left[< C >_{A_0} (\ell, y) \tilde{D}_g^h(\ell, y) \right]$$

- $\tilde{D}_g^h(\ell, y)$ (à partir des équations d'évolution) décrit le “humped backed plateau” dans la limite $Q \gg Q_0 \sim \Lambda_{QCD}$ (spectre limite). $D^{\text{NMLLA}} \approx D^{\text{MLLA}}$.
- $< C >_{A_0} (\ell, y) =$ courant de couleur (facteur de couleur dynamique) ; décrit l'évolution du jet entre Θ_0 et Θ .

Equations d'évolution pour le spectre inclusif D_A^h d'une particule

Développement autour de $z \sim 1$ du parton intermédiaire : éqs d'évolution intégro-différentielle
 MLLA → éqs intégrales couplées NMLLA pour $D_g^h \equiv G$ et $D_q^h \equiv Q$:

$$A = g : \quad \underbrace{G(\ell, y)}_{\text{jet de gluon}} = \delta(\ell) + \int_0^\ell d\ell' \int_0^y dy' \gamma_0^2(\ell' + y') \left(\underbrace{\frac{1}{DLA}}_{-a\delta(\ell' - \ell)} \right) G(\ell', y'),$$

$$A = q : \quad \underbrace{Q(\ell, y)}_{\text{jet de quark}} = \dots G(\ell, y) \dots$$

$$\begin{aligned} \ell &= \ln(1/x) \equiv \ln \frac{E}{k_0}, & y &= \ln \frac{k_\perp}{Q_0}, & \lambda &= \ln \frac{Q_0}{\Lambda_{QCD}} \\ \gamma_0^2(\ell + y) &= \frac{1}{\beta(\ell + y + \lambda)}, & Y &= \ell + y = \ln \frac{E\Theta}{Q_0} \end{aligned}$$

$$G(\ell, y) = \frac{1}{\sigma} \frac{d\sigma}{d\ell}$$

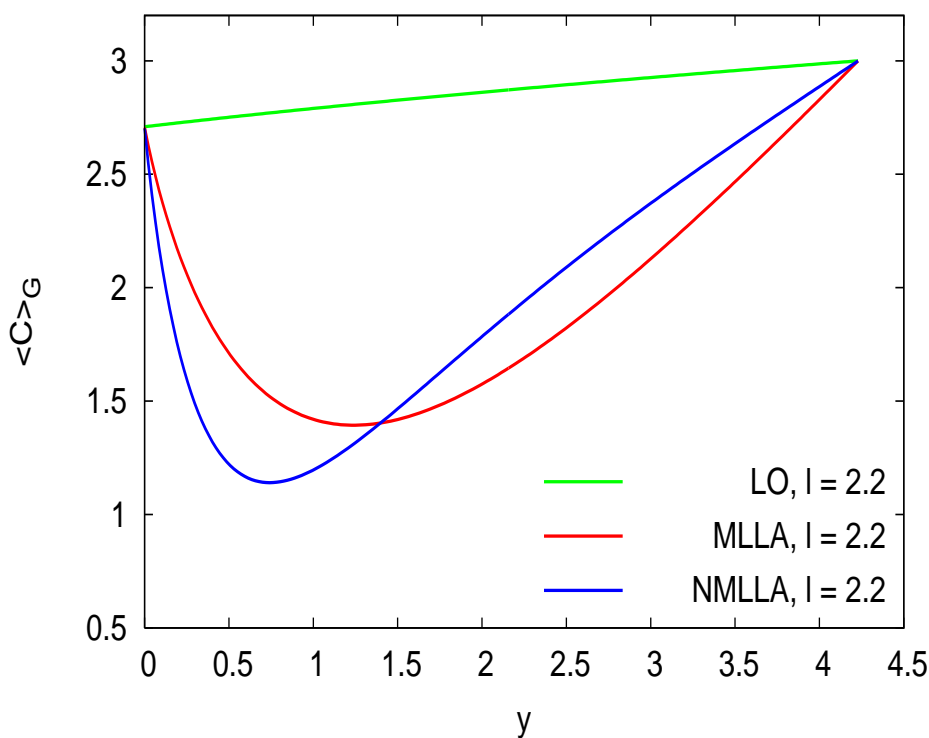
terme DLA : $\propto 1 \Rightarrow \mathcal{O}(1)$; “hard corrections” : $a = \mathcal{O}(\sqrt{\alpha_s})(\text{MLLA}) + \mathcal{O}(\alpha_s)(\text{NMLLA})$

- La solution exacte des équations ⇒ calcul de $\frac{d^2\sigma}{d\ell d\mathbf{y}}(\ell, \mathbf{y}) \rightarrow \frac{d\sigma}{d\mathbf{y}}(\mathbf{y}) = \int d\ell \left(\frac{d^2\sigma}{d\ell d\mathbf{y}} \right)$.

Le courant de couleur $\langle C \rangle_{A_0}$ à $Q = 155$ GeV (Tevatron)

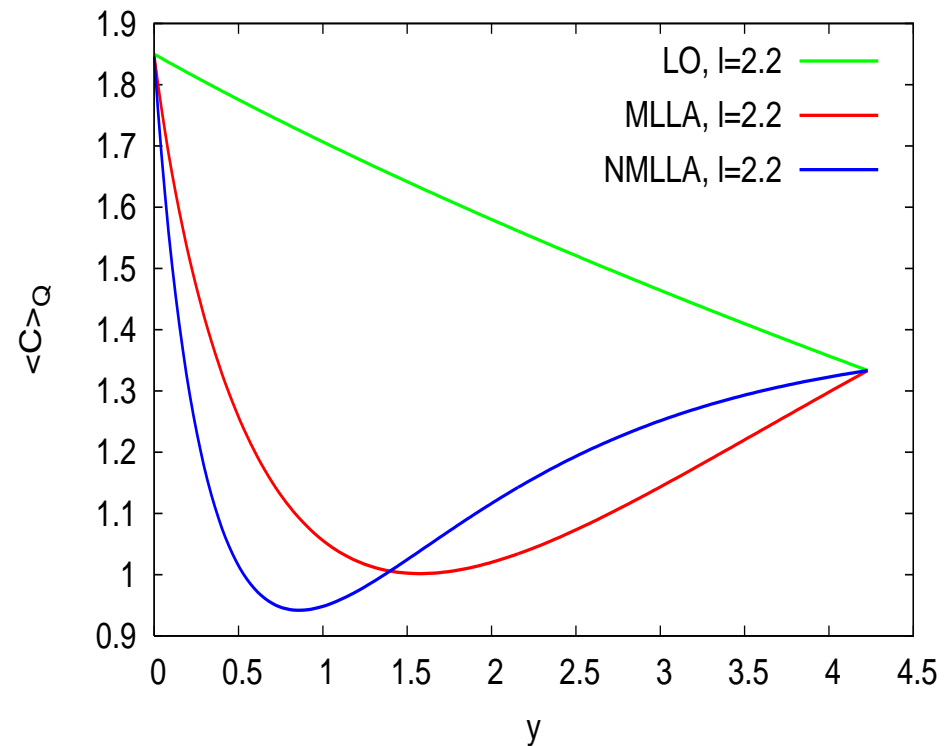
Gluon

$Y=6.4$



Quark

$Y=6.4$



\Rightarrow Sources NMLLA :

$$\langle C \rangle_{A_0} = \mathcal{O}(\alpha_s)$$

et

$$\frac{d}{dy} \langle C \rangle_{A_0} = \mathcal{O}(\alpha_s)$$

Les limites du calcul et intervalles de fiabilité MLLA et NMLLA :

2 conditions “contradictoires” à satisfaire simultanément : $x \ll 1$ et $\alpha_s(k_\perp) \ll 1$;

- À grand k_\perp , l’approximation des petits x échoue ($k_\perp \approx xE\Theta$) car problèmes de positivité
 $\Rightarrow \exists k_{\perp max}$ (NMLLA>MLLA).
- à très petit k_\perp , l’expansion perturbative diverge ($\alpha_s(k_\perp) \rightarrow \infty$).

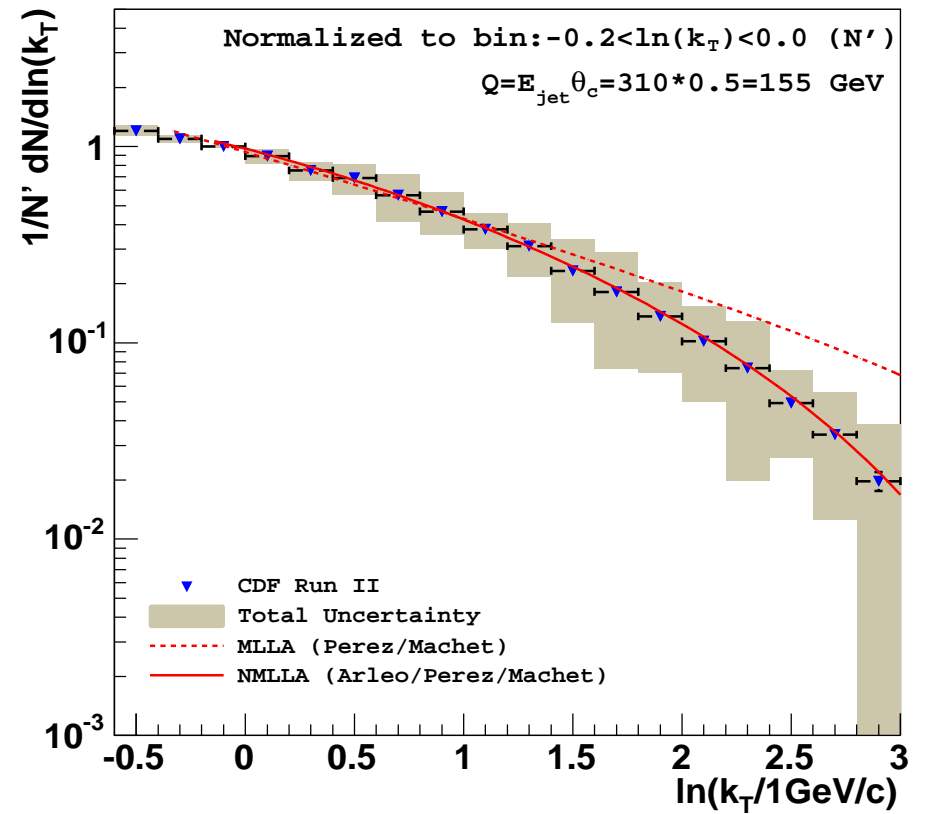
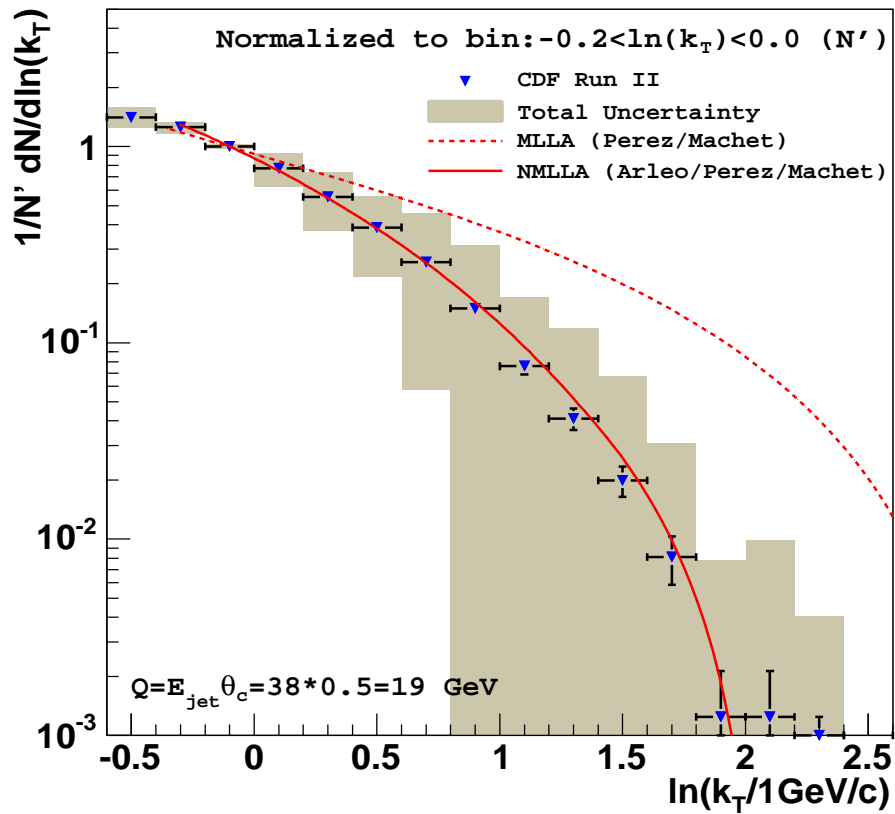
$$k_\perp > k_{\perp min} \Rightarrow y > 1.4 \Leftrightarrow k_\perp > 1 \text{ GeV}$$

Donc \exists **intervalle de validité** : $k_{\perp min} \leq k_\perp \leq k_{\perp max}$ (NMLLA>MLLA) qui **augmente avec l’énergie**.

Le LHC fournira des tests de QCD perturbative dans un intervalle de k_\perp plus important que pour le Tevatron.

\Rightarrow section efficace différentielle inclusive à une particule en fonction de $y = \ln(k_\perp/1\text{GeV})$:

$$\left(\frac{d\sigma}{d \ln k_\perp} \right)^{ch} = \omega \left(\frac{d\sigma}{d \ln k_\perp} \right)_g + (1 - \omega) \left(\frac{d\sigma}{d \ln k_\perp} \right)_q$$

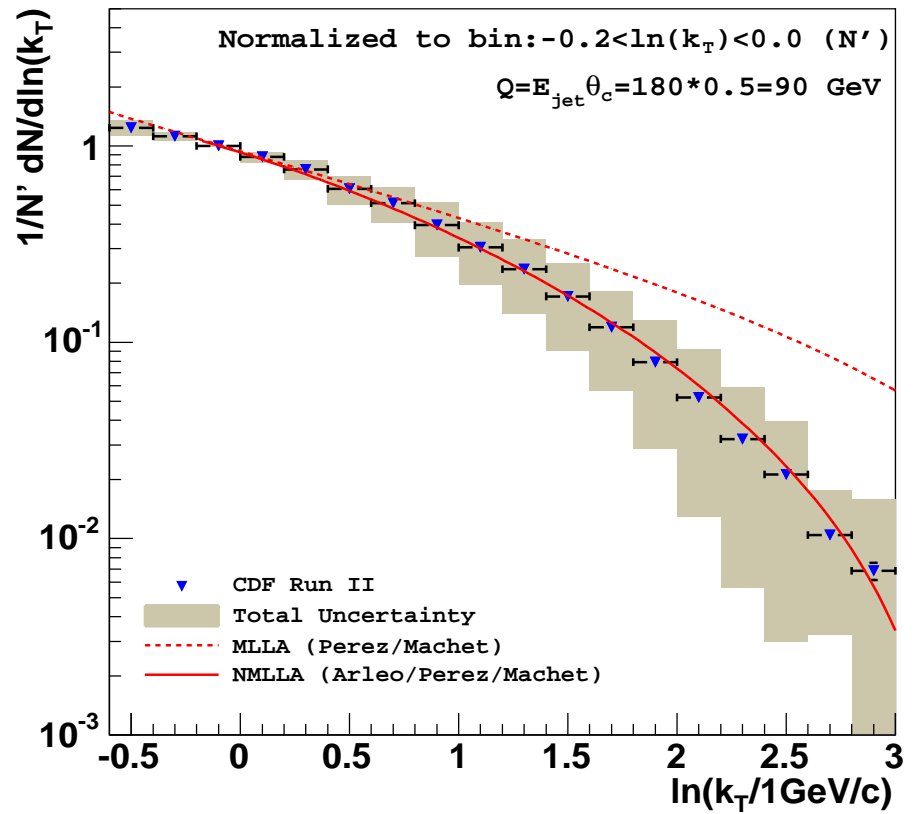
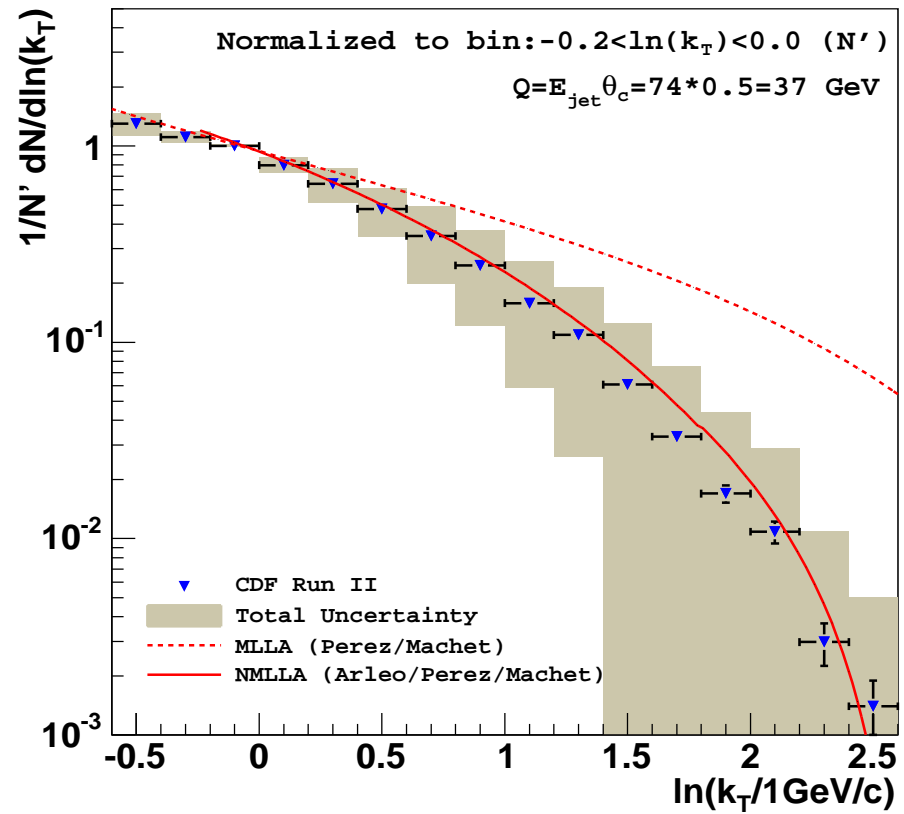


MLLA : $0 \leq \ln(k_\perp/1\text{GeV}) \leq 0.5$

MLLA : $0 \leq \ln(k_\perp/1\text{GeV}) \leq 2.3$

NMLLA : $0 \leq \ln(k_\perp/1\text{GeV}) \leq 1.9$

NMLLA : $0 \leq \ln(k_\perp/1\text{GeV}) \leq 3.0$

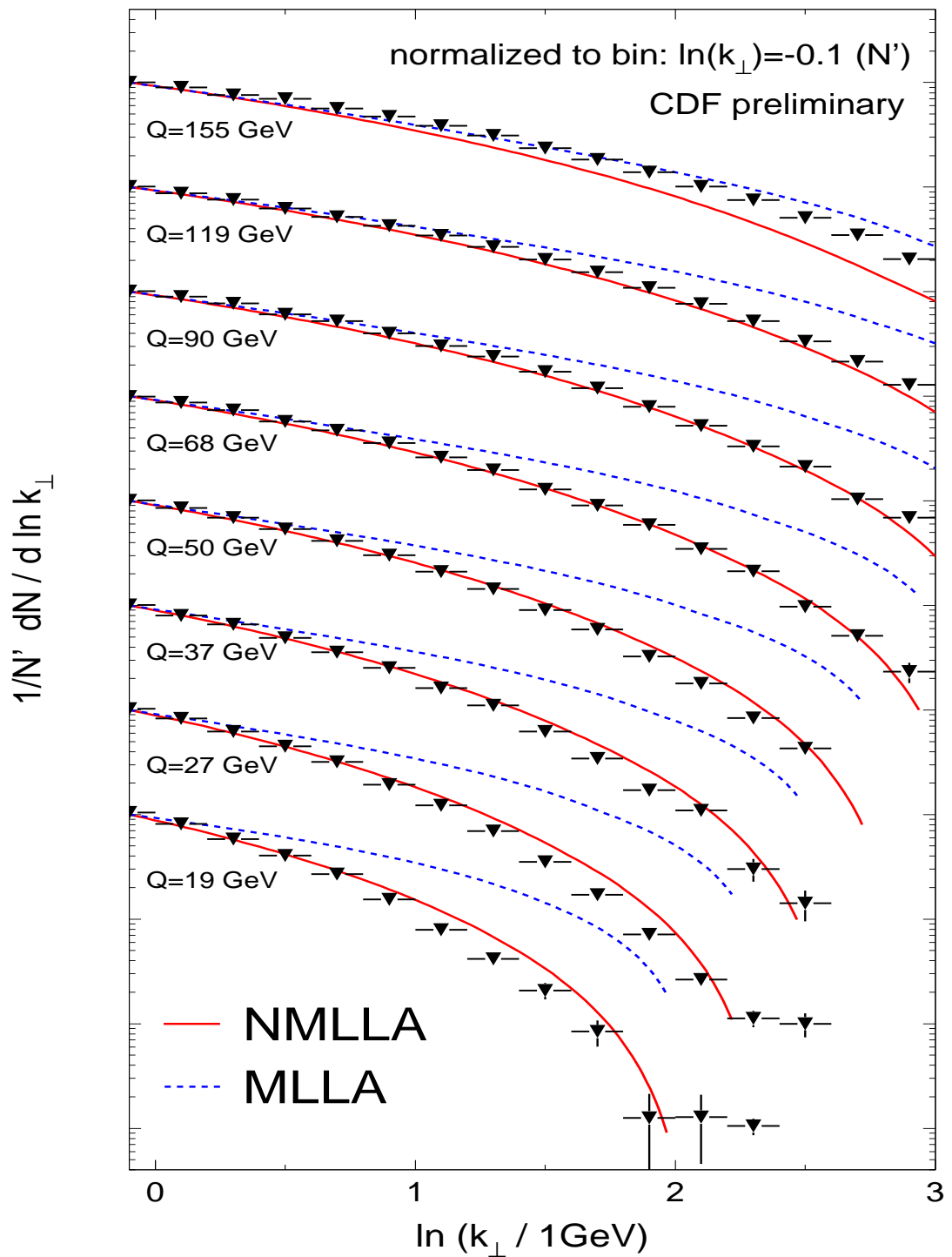


MLLA : $0 \leq \ln(k_\perp/1\text{GeV}) \leq 1.0$

NMLLA : $0 \leq \ln(k_\perp/1\text{GeV}) \leq 2.4$

MLLA : $0 \leq \ln(k_\perp/1\text{GeV}) \leq 1.6$

NMLLA : $0 \leq \ln(k_\perp/1\text{GeV}) \leq 2.8$



Un peu de technique : les corrections NMLLA

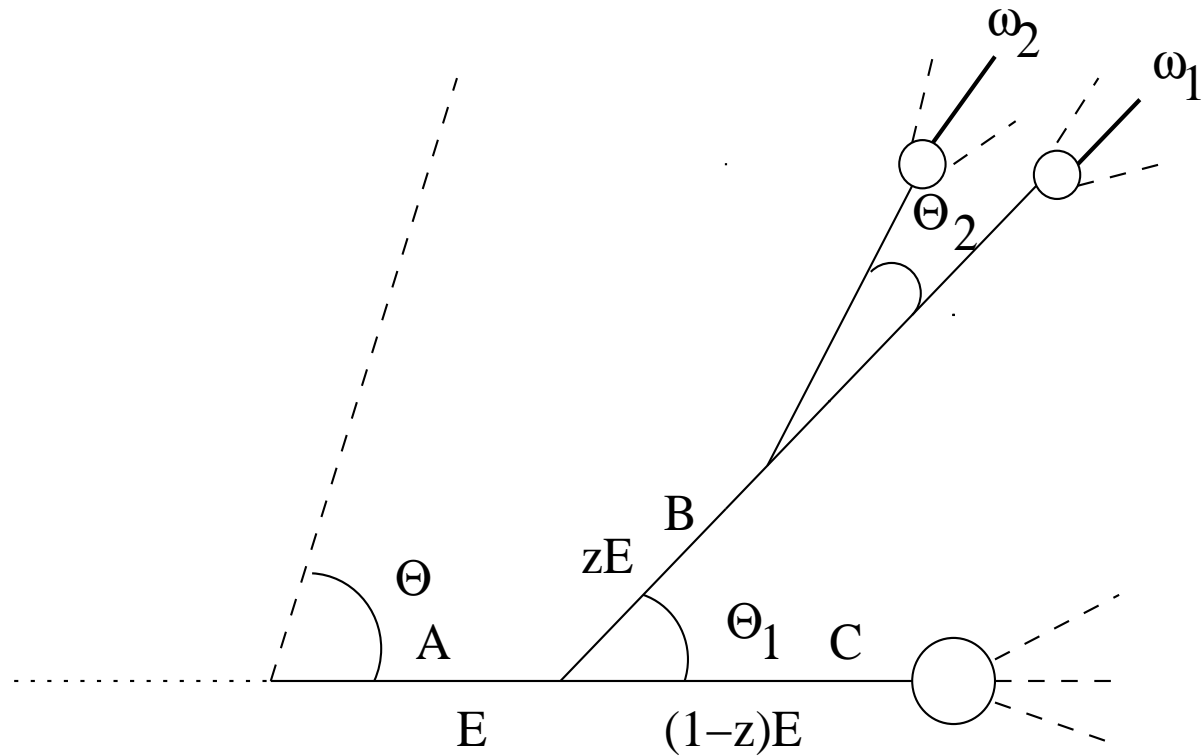
- Eq. pour la Fonctionnelle Génératrice démontrée en MLLA (pas de vertex à 4-gluons...) \Rightarrow éqs intégro-différentielles MLLA pour le spectre inclusif ;
- développement en $|\ln(z \sim 1)| \ll |\ln(x \ll 1)| \rightarrow$ éqs int. couplées MLLA, NMLLA pour $D = Q, D = G$; en particulier $D_{\text{MLLA}} \approx D_{\text{NMLLA}}$;
- d'où viennent les corrections cruciales NMLLA ? : du développement perturbatif de $\left(\frac{d^2\sigma}{dx d \ln k_\perp}\right)_{A_0} = \frac{d}{d \ln k_\perp} \int du D_{A_0}^A(u \dots) D_A^h\left(\frac{x}{u} \dots\right)$ en puissances de $\ln u$ pour $|\ln(u \sim 1)| \ll |\ln(x \ll 1)| \rightarrow 1 + \sqrt{\alpha_s} + \alpha_s$;
- autres corrections possibles non-perturbatives \ni NMLLA :
- les corrections à 2 boucles des fonctions de splitting \sim correction à 1 boucle (1er ordre) à $x \ll 1$;
- limites d'intégration raffinées (préasympotiques, $x < Q_0/Q \rightarrow$ “power corrections”) \Rightarrow corrections non-perturbatives ;
- α_s à 2 boucles \ll rôle de la conservation de l'énergie (dont nos corrections MLLA et NMLLA tiennent compte) ;

Conclusions sur $\frac{d\sigma}{d \ln k_\perp}$

- Très bon accord entre NMLLA et les données expérimentales de CDF ($\forall Q$) dans un intervalle de fiabilité plus large que pour MLLA ; asymptotiquement NMLLA \rightarrow MLLA ;
- Test supplémentaire de “LPHD” (les partons se comportent comme des hadrons) ; pQCD domine par rapport aux effets non-perturbatifs (hadronisation) qui semblent complètement négligeables ; ceci auparavant été confirmé dans les cas des multiplicités des jets, corrélateur des multiplicités, “hump-backed plateau”…
- Efficacité du calcul des jets dans l'estimation des grandeurs inclusives…
- Corrélations : moins inclusives (car 2 particules) ; rôle des effets non perturbatifs ?

Corrélations à deux particules dans les jets hadroniques dans le cadre de l'approximation MLLA

R. Perez-Ramos, JHEP 06 (2006) 019, p.1-50



Ordonnance Anglaise exacte : $\Theta \geq \Theta_1 \geq \Theta_2$

$$G^{(2)}, Q^{(2)}(\omega_1, \omega_2) \equiv \omega_1 \omega_2 \frac{d^2 \sigma}{d\omega_1 d\omega_2} ??$$

Equations d'évolution MLLA pour les corrélateurs des quarks et des gluons

Système d'équations intégrales couplées :

$$G^{(2)}(\ell_1, y_2, \eta) - G_1(\ell_1, y_1)G_2(\ell_2, y_2) = \int_0^{\ell_1} d\ell \int_0^{y_2} dy \gamma_0^2(\ell + y) \left[\underbrace{1}_{DLA} - a\delta(\ell - \ell_1) \right] G^{(2)}(\ell, y, \eta)$$

$$+ (a - b) \int_0^{y_2} dy \gamma_0^2(\ell_1 + y) G(\ell_1, y + \eta) G(\ell_1 + \eta, y),$$

$$Q^{(2)}(\ell_1, y_2, \eta) - Q_1(\ell_1, y_1)Q_2(\ell_2, y_2) = \dots$$

terme DLA : $\propto 1 \Rightarrow \mathcal{O}(1)$; corrections MLLA : $\propto a, (a - b) \Rightarrow \mathcal{O}(\sqrt{\alpha_s})$

$$\eta = \ell_2 - \ell_1 = y_1 - y_2 = \ln(x_1/x_2) > 0$$

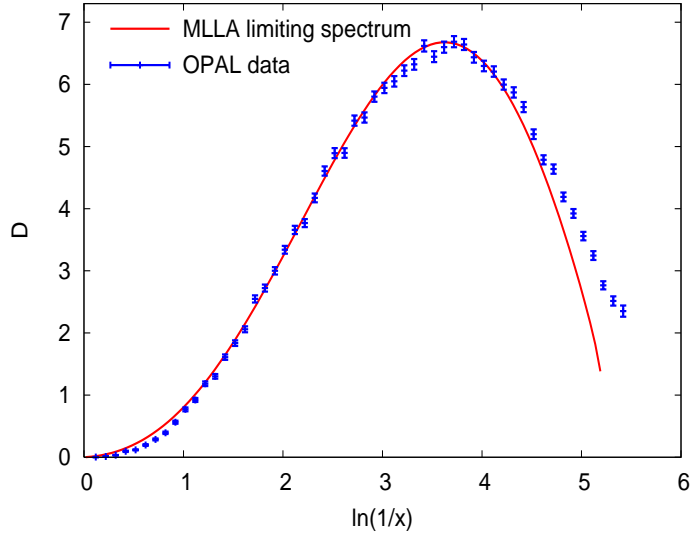
On définit les corrélateurs

$$\mathcal{C}_g = \frac{G^{(2)}(\ell_1, \ell_2, Y)}{G(\ell_1, Y) G(\ell_2, Y)}, \quad \mathcal{C}_q = \frac{Q^{(2)}(\ell_1, \ell_2, Y)}{Q(\ell_1, Y) Q(\ell_2, Y)};$$

ils sont **indépendants de la normalisation** \rightarrow test épuré de la dynamique partonique.

$$G, Q : \text{spectres inclusifs} \propto x \frac{d\sigma}{dx}; \quad G^{(2)}, Q^{(2)} : \propto x_1 x_2 \frac{d^2\sigma}{dx_1 dx_2}.$$

Approximation de Fong et Webber (1990) : premier et seul calcul MLLA



$$G^{ch} \left(\ell = \ln(1/x), \ln \frac{Q}{Q_0} \right) = \mathcal{K}^{ch} \times \frac{1}{\sigma} \frac{d\sigma}{d \ln(1/x)}$$

$$Q \gg Q_0 \sim \Lambda_{QCD}, \gamma_0 \approx 0.5; \ell_1 \approx \ell_2 \approx \frac{1}{2} \ln \frac{Q}{Q_0}$$

Expansion perturbative en $1 + \sqrt{\alpha_s} + \dots$ à petit x au voisinage du maximum de la section efficace inclusive pour les 2 particules :

$$R(\ell_1, \ell_2, Y) \equiv \frac{1}{2} (1 + C_q) = 1.375 - 1.125 \left(\frac{\ell_1 - \ell_2}{\ln \frac{Q}{Q_0}} \right)^2 - \left[1.262 - 0.877 \frac{(\ell_1 + \ell_2)}{\ln \frac{Q}{Q_0}} \right] \frac{1}{\sqrt{\ln \frac{Q}{Q_0}}}.$$

Solution formelle des équations d'évolution à petit x

Le corrélateur normalisé $\mathcal{C}_g(\ell_1, y_2, \eta) = \frac{G^{(2)}}{G_1 G_2} \rightarrow 1$ si décorrération totale.

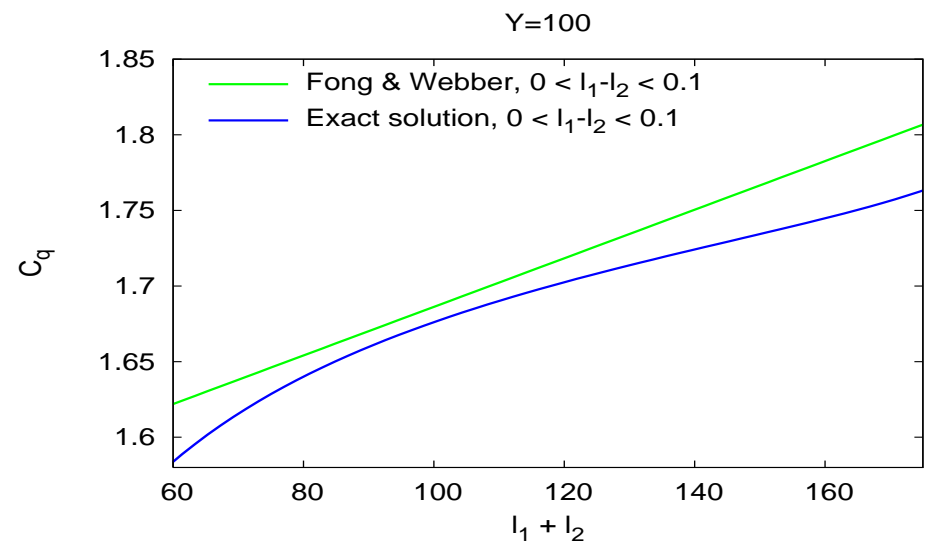
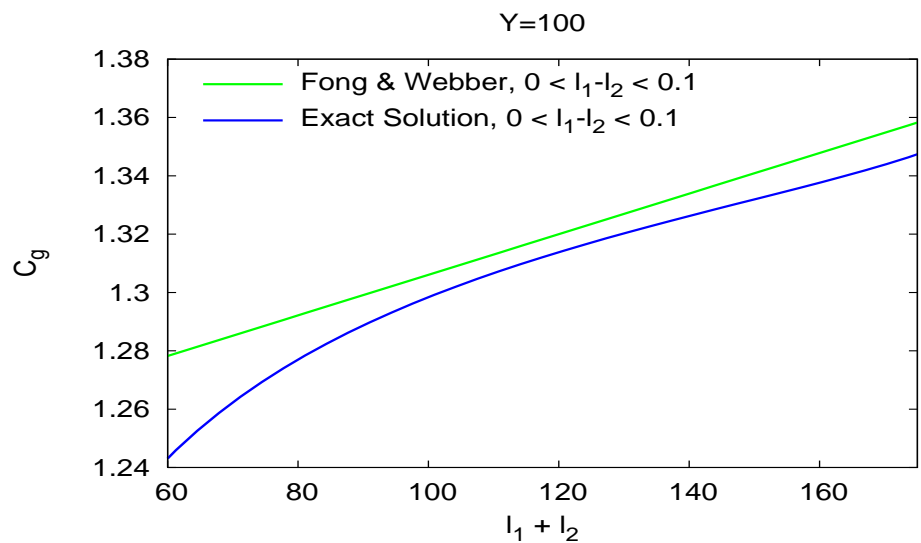
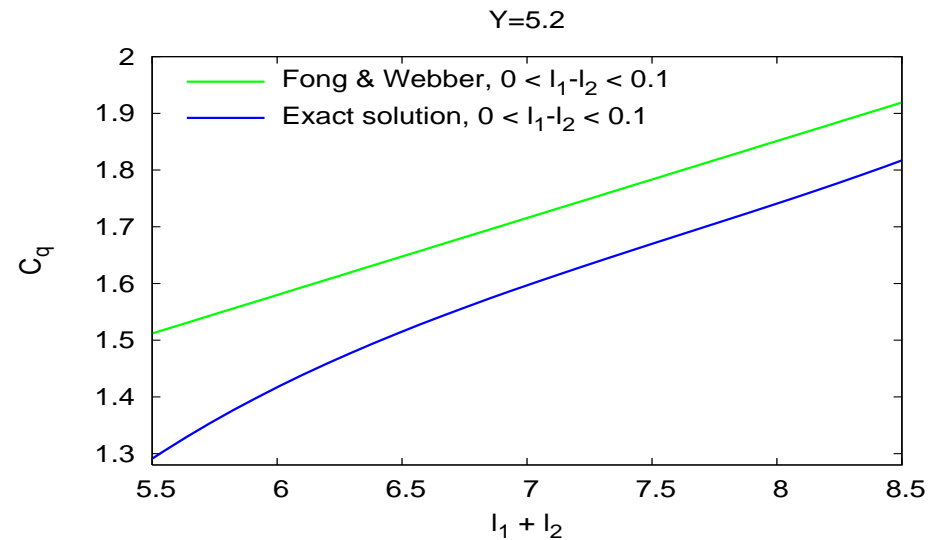
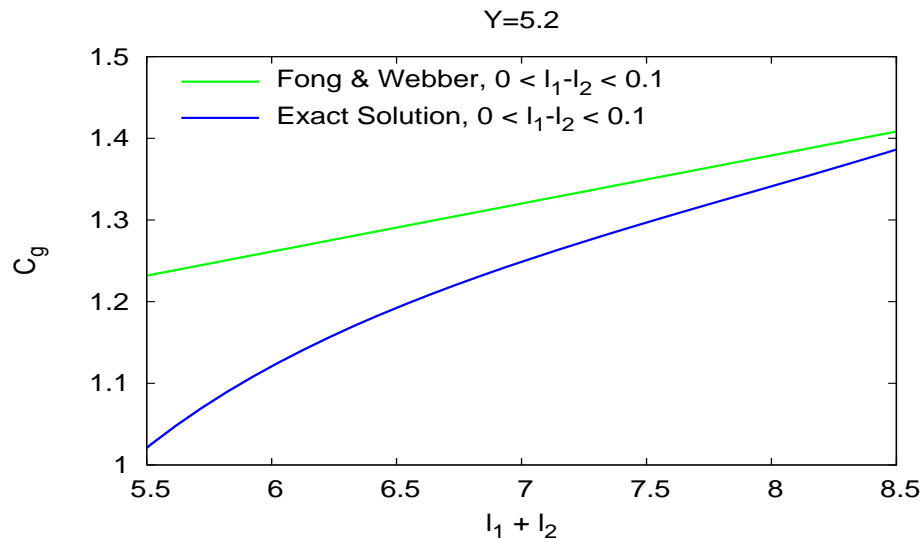
La solution formelle à petit x de l'équation d'évolution est

$$\mathcal{C}_g - 1 = \frac{1 - \delta_1 - b (\psi_{1,\ell} + \psi_{2,\ell} - [\beta \gamma_0^2]) - [a \chi_\ell + \delta_2]}{1 + \Delta + \delta_1 + [a (\chi_\ell + [\beta \gamma_0^2]) + \delta_2]};$$

- Les termes en noir s'expriment à partir des dérivées logarithmiques du spectre inclusif ;
- Δ (DLA) diminue les corrélations quand x_2 s'écarte de x_1 ;
- la solution est calculée itérativement sur \mathcal{C}_g car tous les termes en orange à droite dépendent de \mathcal{C}_g et sont des petites corrections ($\chi = \ln \mathcal{C}_g \dots$)
- elle mélange des corrections $\mathcal{O}(\sqrt{\alpha_s})$ (MLLA) et $\mathcal{O}(\alpha_s)$ (NMLLA).

$$\begin{aligned}
& \chi_\ell = \frac{\partial \chi}{\partial \ell} = \mathcal{O}(\gamma_0^2), \quad \chi_y = \frac{\partial \chi}{\partial y} = \mathcal{O}(\gamma_0^2); \\
& \psi_i = \ln G_i, \quad \psi_{i,\ell} = \frac{1}{G_i} \frac{\partial G_i}{\partial \ell} = \mathcal{O}(\gamma_0), \quad \psi_{i,y} = \frac{1}{G_i} \frac{\partial G_i}{\partial y} = \mathcal{O}(\gamma_0); \\
& \Delta = \gamma_0^{-2} \left(\psi_{1,\ell} \psi_{2,y} + \psi_{1,y} \psi_{2,\ell} \right) = \mathcal{O}(1); \\
& \delta_1 = \gamma_0^{-2} \left[\chi_\ell (\psi_{1,y} + \psi_{2,y}) + \chi_y (\psi_{1,\ell} + \psi_{2,\ell}) \right] = \mathcal{O}(\gamma_0); \\
& \delta_2 = \gamma_0^{-2} \left(\chi_\ell \chi_y + \chi_{\ell y} \right) = \mathcal{O}(\gamma_0^2), \quad \delta_c = \delta_1 + \delta_2 + a \chi_\ell \simeq 10^{-2}.
\end{aligned}$$

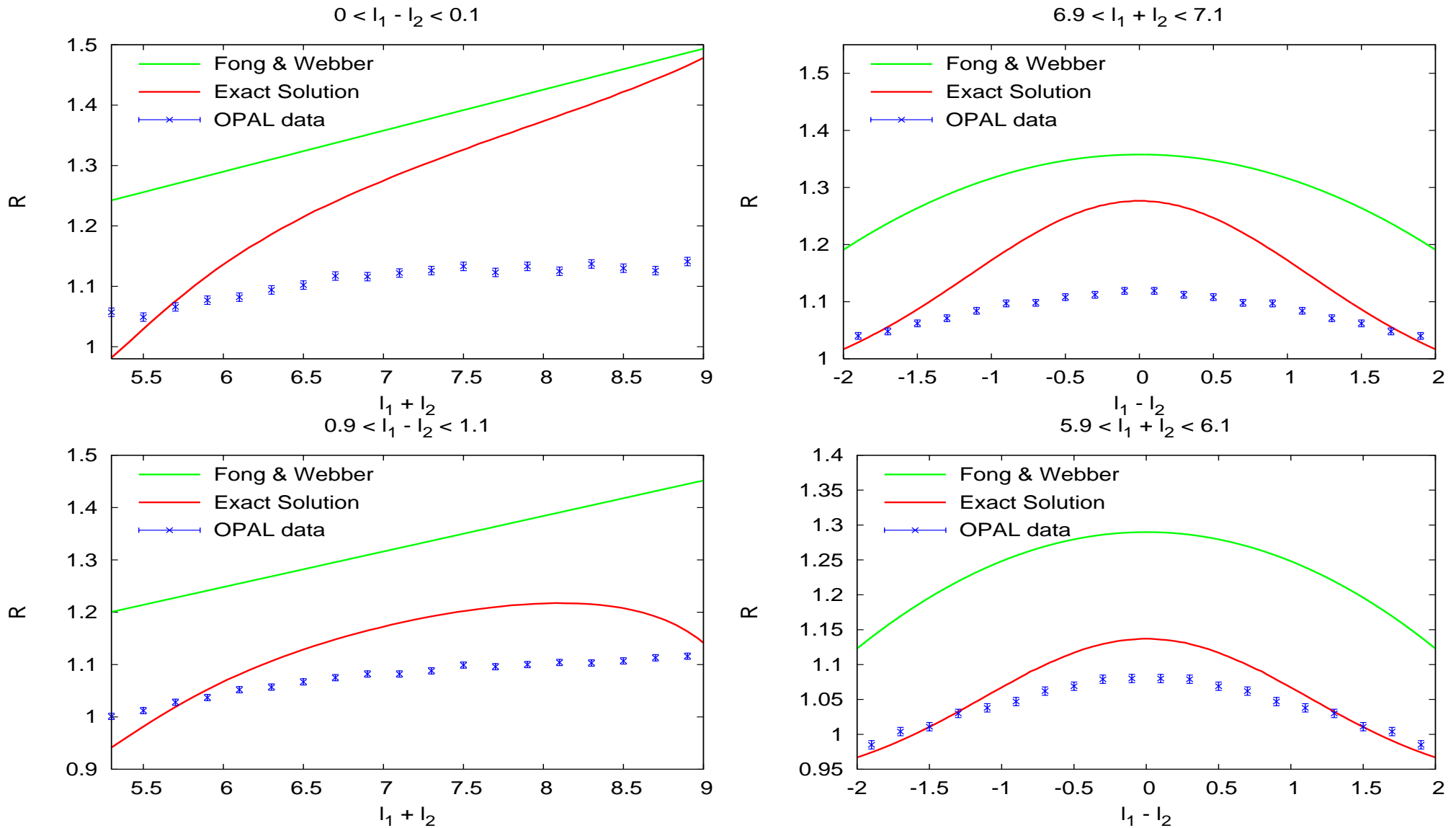
Comparaison avec les résultats de Fong & Webber



JET de GLUON

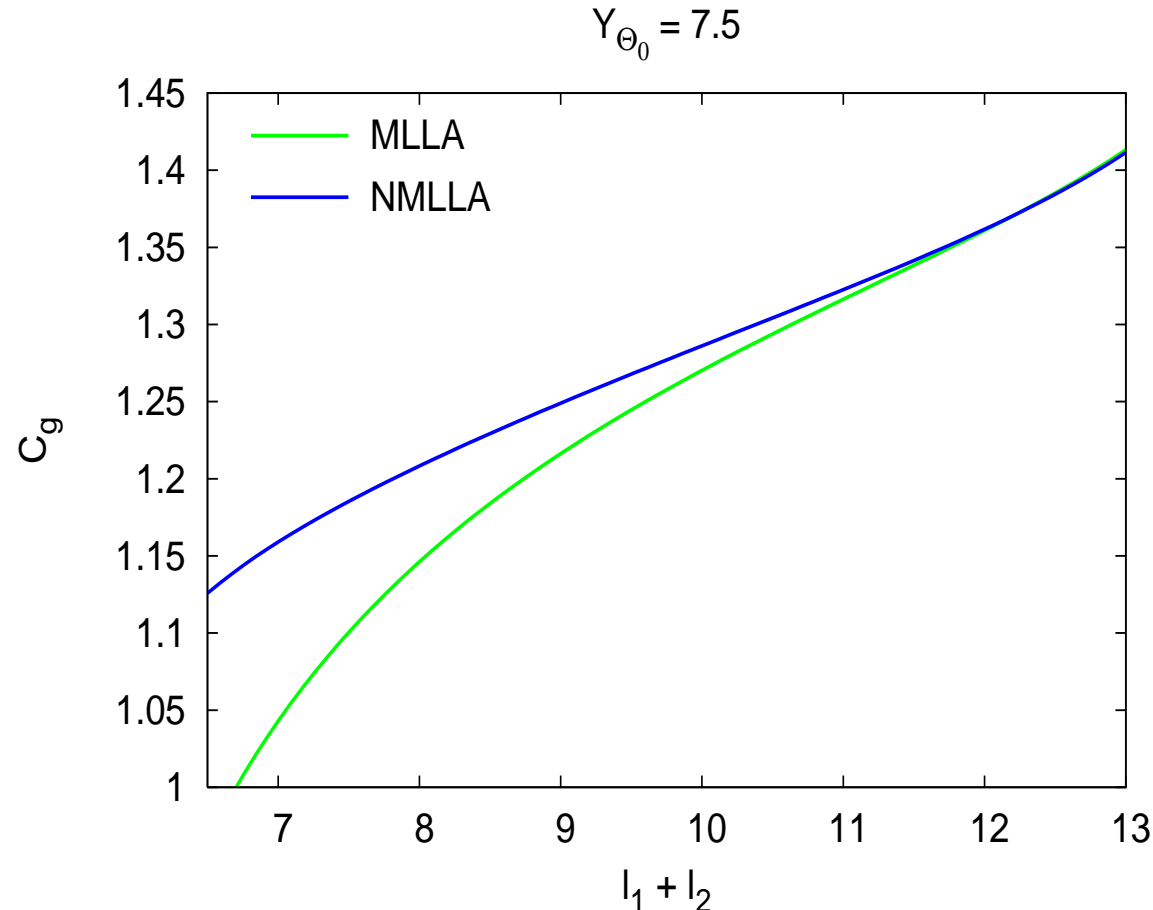
JET de QUARK

Comparaison avec les données existantes : OPAL, $Q = 91.2 \text{ GeV}$



⇒ les données de CDF à venir seront comparées avec nos prédictions.

Rôle des corrections NMLLA



⇒ Les corrections NMLLA ne semblent pas suffisantes pour obtenir un accord avec les données d'OPAL

Conclusions sur les corrélations

- Notre approche et celle de Fong & Webber prédisent que les particules sont d'autant plus corrélées que leurs énergies sont plus proches $\ell_1 = \ell_2$;
- Le comportement des corrélations prédit par la solution exacte **MLLA** des équations d'évolution est différent :
 - * elles s'aplatissent quand ℓ croît ;
 - * puis décroissent quand x continue à décroître ; c'est un effet de la cohérence des gluons mous émis à grand angle ;
- Les résultats se rapprochent des données mais un désaccord subsiste ; les corrections d'ordre supérieur (**NMLLA**) ne sont pas suffisantes. Des effets d'hadronisation non-triviaux pourraient jouer un rôle, surtout à très petit x ($x \ll 1$) et les données d'OPAL ;
- Des nouvelles données expérimentales de **CDF** (Tevatron) verront bientôt le jour : elles seront comparées avec nos prédictions.